

13th

International Conference
on Materials Engineering
& Metallurgy

Iran - Karaj
December 10 - 11, 2024

iMAT 2024



سیزدهمین کنفرانس بین المللی
مهندسی مواد و متالورژی
ایران - کرج
۱۴۰۳ - ۲۱ - ۲۰

تأثیر افزودن گرافن به ترکیبات $\text{Bi}_{0.5}\text{Sb}_{1.5}\text{Te}_3$ و $\text{Bi}_2\text{Te}_{2.7}\text{Se}_{0.3}$ به منظور بهبود

خواص ترمومالکتریک آنها

فاطمه رحمانی^۱, سید عبدالکریم سجادی^۲

۱- دانشجوی کارشناسی ارشد مهندسی مواد و متالورژی، دانشگاه فردوسی مشهد

۲- استاد مهندسی مواد و متالورژی، دانشگاه فردوسی مشهد

Fatemeh.rahmani7176@gmail.com

چکیده

ترکیبات $\text{Bi}_{0.5}\text{Sb}_{1.5}\text{Te}_3$ و $\text{Bi}_2\text{Te}_{2.7}\text{Se}_{0.3}$ از جمله برترین مواد ترمومالکتریک با راندمان بالا هستند. خواص این مواد تحت تأثیر پارامترهای متعددی همچون ترکیب شیمیایی، ریزساختار، روش سنتر، فرآیند ساخت، وجود عیوب و افزودن فازهای ثانویه قرار می‌گیرد. در این پژوهش، تأثیر افزودن مقادیر وزنی مختلف گرافن بر خواص ترمومالکتریک این دو ترکیب مورد بررسی قرار گرفت. فرآیند سنتز پودر با استفاده از آسیاکاری مکانیکی، توزیع گرافن به کمک حمام التراسونیک و تولید قطعات بالک با پرس هیدرولیک انجام شد. الگوهای پراش اشعه ایکس نیز نشان دهندهی موفقیت‌آمیز بودن روش سنتز در این تحقیق بودند. نتایج نشان داد که افزودن 0.5% درصد وزنی گرافن به ترکیب $\text{Bi}_{0.5}\text{Sb}_{1.5}\text{Te}_3$ موجب افزایش ضریب سیبک از مقدار $20.5/\mu\text{V/K}$ به مقدار $216.7/\mu\text{V/K}$ در دمای 353 کلوین گردید. همچنین وجود گرافن با درصد وزنی 0.75% ضرایب سیبک بالاتری را در محدوده دمایی $470\text{ تا }550\text{ کلوین}$ نسبت به نمونه بدون گرافن نشان داد.

کلمات کلیدی: گرافن، $\text{Bi}_{0.5}\text{Sb}_{1.5}\text{Te}_3$, $\text{Bi}_2\text{Te}_{2.7}\text{Se}_{0.3}$, خواص ترمومالکتریک

۱ - مقدمه

در اوایل قرن نوزدهم پدیده ترمومالتکتریک کشف شد ولی تا قبل از توسعه نانوفناوری از عملکرد مطلوبی برخوردار نبود. افزایش آگاهی از تاثیر مخرب گرمایش جهانی بر محیط زیست، نیاز به منابع انرژی الکتریکی با عمر طولانی و تمایل روزافزون در کوچک سازی مدارهای الکترونیکی و حسگرهای سه دلیل عمدۀ برای پیشرفت قابل توجه در استفاده از مواد ترمومالتکتریک می‌باشد [۱، ۲، ۳]. مواد ترمومالتکتریک قادر هستند به طور مستقیم انرژی حرارتی را به انرژی الکتریکی و یا بر عکس تبدیل نمایند [۴]. اساساً دو دستگاه وجود دارد: ژنراتورهای ترمومالتکتریک و خنک‌کننده‌های ترمومالتکتریک. ژنراتورهایی برای بازیابی گرمای هدر رفته از نیروگاهها و خودروها دارند. تقریباً ۷۰٪ انرژی مصرف شده توسط صنایع خودروسازی، کارخانه‌ها و نیروگاهها به عنوان انرژی حرارتی هدر می‌رود [۴]. چنین دستگاه‌هایی می‌توانند در مناطق دورافتاده، بر قمود نیاز را فراهم آورند. خنک‌کننده‌های ترمومالتکتریک نیز می‌توانند عمل سرد کردن و کنترل دما را در لیزرها، آشکارسازهای نوری، قطعات الکترونیکی و ابزار پزشکی فراهم کنند [۵]. از دیگر فواید مواد ترمومالتکتریک می‌توان عدم وجود قطعات متحرک را نام برد که علاوه بر بی‌صدا بودن و عدم سایش قطعات، سبب افزایش عمر و کاهش هزینه‌های تعمیر و نگهداری سیستم‌ها نیز می‌شود [۶، ۷].

با این حال معاویت نیز در مواد ترمومالتکتریک وجود دارد که موجب محدود شدن استفاده گسترده از آن‌ها می‌گردد. مهم‌ترین محدودیت راندمان پایین (حدود ۰.۵٪) تبدیل انرژی آنهاست. همچنین بسیاری از این مواد حاوی عناصر کمیاب و گران قیمت بوده که تهیه و تولید آن‌ها را دشوار می‌کند [۸، ۹].

خاصیت مواد ترمومالتکتریک بر پایه‌ی سه اثر سبیک، اثر پلتیر و اثر تامسون برقرار است. اوایل قرن نوزدهم فردی به نام سبیک ثابت کرد که وجود اختلاف دما در محل اتصال دو ماده رسانا و یا دو نیمه‌رسانای غیرهم‌جنس، منجر به ایجاد اختلاف پتانسیل بین آنها و شارش جریان الکتریکی می‌شود. اساساً دستگاه‌های ترمومالتکتریک نیز شامل تعدادی نیمه‌هادی نوع N و P بوده که از نظر الکتریکی به صورت سری و از نظر حرارتی به صورت موازی به یکدیگر متصل شده‌اند و بین صفحات سرامیکی که هدایت حرارتی بالا و رسانایی الکتریکی کمی دارند، قرار می‌گیرند. در واقع اثر سبیک اساس کار یک ژنراتور ترمومالتکتریک را تشکیل می‌دهد [۹].

پدیده معکوس اثر سبیک در سال ۱۸۳۴ توسط جان پلتیر بیان شد که بر اساس آن وجود جریان الکتریکی در یک مدار بسته که شامل دو رسانا و یا دو نیمه‌رسانای غیرهم‌جنس است، باعث تغییر دما در محل‌های اتصال می‌گردد. به عبارت دیگر با عبور جریان، گرما در یک اتصال جذب و در اتصال دیگر آزاد می‌شود و دو اتصال گرم و سرد به وجود می‌آید. بنابراین اثر پلتیر کارکرد خنک‌کننده‌های ترمومالتکتریک را توضیح می‌دهد [۵].

در اثر تامسون وجود جریان الکتریکی و تغییرات دما در طول یک ماده رسانا باعث می‌شوند که ماده گرما جذب یا آزاد کند که میزان جذب یا آزاد شدن گرما بستگی به جهت جریان و گرادیان دما دارد [۱۰].

معیار سنجش مقدار کارایی مواد ترمومالتکتریک ضریب ZT است که به صورت معادله زیر تعریف می‌شود:

$$ZT = \frac{T\alpha^2\sigma}{\kappa} \quad (1-1)$$

در این فرمول α ضریب سبیک، σ رسانایی الکتریکی، T دمای مطلق و κ هدایت حرارتی فونون و هدایت حرارتی الکترونی است [۶]. یک ماده ترمومالتکتریک عالی باید ویژگی‌های مهمی از جمله ضریب سبیک و رسانایی الکتریکی بالا و هدایت حرارتی پایین داشته باشد. ضریب سبیک بالا به معنی تولید بیشتر ولتاژ در ازای یک درجه اختلاف دما بوده و رسانایی الکتریکی بالا کمک می‌کند که الکترون‌ها به راحتی در ماده جریان یابند. در عین حال هدایت حرارتی پایین باعث می‌شود که اختلاف دما در طول ماده حفظ شود. با این حال، این اهداف مطابق معادله (۱-۱) معمولاً در تضاد با یکدیگر هستند. به عنوان مثال، افزایش رسانایی الکتریکی غالب به افزایش هدایت حرارتی و کاهش ضریب سبیک منجر می‌شود [۴].

$$S = \frac{8\pi^2 K_B^2 T}{3q h^2} m_d^* \left(\frac{\pi}{3p}\right)^{2/3} \quad (1-2)$$

در معادله بالا، K_B ثابت بولتزمن، q بار حامل، p غلظت حفره‌های الکترونی، h ثابت پلانک و m^* چگالی حالت‌های جرم موثر (DOS) است. از معادله می‌توان دریافت که ضریب سبیک را می‌توان با تنظیم جرم موثر و غلظت حامل تغییر داد [۱۱].

13thInternational Conference
on Materials Engineering
& MetallurgyIran - Karaj
December 10 - 11, 2024

iMAT 2024



سیزدهمین کنفرانس بین المللی
مهندسی مواد و متابولورژی
ایران - کرج
۱۴۰۳ - ۲۱ - ۲۰

پیشرفت‌های اخیر پژوهشگران در بهبود کارایی مواد ترمومالکتریک از طریق استراتژی‌های مختلف مانند آلایش، مهندسی شکاف انرژی، ایجاد عیوب بهینه، ایجاد نانوساختار و ساخت کامپوزیت صورت گرفته است [۲]. در بیشتر مطالعات گزارش شده، بهبود راندمان تبدیل انرژی ناچیز است. یکی از دلایل اصلی ناتوانی در دستکاری پارامترهای ترمومالکتریک به طور مستقل، وابستگی قوی بین آنها است. با این حال، پیشرفت‌ها در پردازش پودر نانوساختار و تولید نانوکامپوزیت با توزیع فازثانویه یکنواخت، به عنوان یک مسیر موفق برای ساخت مواد ترمومالکتریک با کارایی بالا ظاهر شده است که یک تکنیک آسان و کم هزینه بوده که مزایای بی شماری را نسبت به سایر روش‌ها ارائه می‌دهد [۱۲].

ظهور فناوری نانو، تاثیر شگرفی بر توسعه مواد ترمومالکتریک داشته که منجر به بهبود خواص ترمومالکتریکی نسبت به مواد معمولی شده است. مواد ترمومالکتریک نانوساختار اخیراً به یک زمینه تحقیقاتی فعال برای موانع کارایی مواد ترمومالکتریک بالک تبدیل شده‌اند. این ساختارها از افزایش حامل‌های بار و پراکندگی فونون در مرزها بهره‌مند هستند. مواد ترمومالکتریک بالک به دلیل کاربرد گسترده در ژنراتورهای تجاری و دستگاه‌های تولید برق مورد توجه بیشتری هستند که با نانوساختار کردن می‌توان ضربی ارزشی و عملکرد آن‌ها را بهبود بخشید. کاهش هدایت حرارتی نقش اساسی در بهبود ZT مواد ترمومالکتریک که دارای ضربی توان خوبی هستند، ایفا می‌کند. برای مواد بالک یکی از روش‌های اصلی که برای کاهش هدایت حرارتی استفاده می‌شود کاهش مسیر آزاد میانگین فونون‌ها و پراکندگی بیشتر آن‌ها در مرزدانه و فصل مشترک‌ها به کمک نانوساختار کردن می‌باشد [۱۳].

یکی از نامزدهای جالب به عنوان فاز ثانویه و کامپوزیت شدن با مواد ترمومالکتریک به منظور بهبود خواص ترمومالکتریک گرافن است. گرافن یک ماده کربنی دو بعدی دارای شکاف انرژی صفر با خواص الکتریکی، حرارتی و مکانیکی منحصر به فرد بوده که با وجود دارا بودن رسانایی الکتریکی و حرارتی ذاتی بالا می‌تواند هدایت حرارتی کامپوزیت‌ها را از طریق مسدود کردن فونون کاهش دهد. خواص الکتریکی، حرارتی مطلوب و خواص مکانیکی عالی گرافن، آن را به انتخاب عالی به عنوان فاز دوم در کامپوزیت‌های ترمومالکتریک تبدیل کرده است [۱۴]. گرافن به دلیل سطح ویژه بالا می‌تواند رسانایی مواد ترمومالکتریک را در درصدهای حجمی بسیار کم بهبود دهد همچنین بهبود پایداری مکانیکی را به همراه دارد که برای ساخت دستگاه‌های ترمومالکتریک ضروری است [۱۵].

لازم به ذکر است هر کدام از ترکیبات ترمومالکتریک در محدوده دمایی خاصی بهترین عملکرد را نشان می‌دهند. به عنوان مثال، آلیاژ‌های مرتبط با Bi_2Te_3 مانند $\text{Bi}_{2-x}\text{Sb}_x\text{Te}_3$ ، $\text{Bi}_{2.7}\text{Se}_{0.3}$ ، $\text{Bi}_{0.5}\text{Sb}_{1.5}\text{Te}_3$ ، Sb_2Te_3 ، Bi_2Te_3 پرکاربردترین مواد ترمومالکتریک در دماهای پایین مخصوصاً نزدیک به دمای اتاق (۳۰۰-۵۰۰ کلوین) هستند [۱۶، ۱۷].

به طور معمول Bi_2Te_3 و Sb_2Te_3 را می‌توان با Bi_2Se_3 آلیاژ کرد تا مواد نوع P ($\text{Bi}_{2-x}\text{Sb}_x\text{Te}_3$) و نوع N ($\text{Bi}_{2-x}\text{Se}_x\text{N}$) را تشکیل دهند [۱۸-۲۰]. این کار در اصلاح ساختار نوار انرژی به دلیل تولید یک ساختار با ظرفیت مشابه تاثیر قابل توجهی ندارد اما با تاثیرگذاری بر ارتعاشات اتم‌ها، تغییرات جزئی بر جرم و ایجاد یک تنفس القایی بین اتم‌ها، می‌تواند هدایت حرارتی فونون‌ها (κ) را به طور موثر کاهش دهد و بنابراین مقدار ZT بهبود یابد [۲۰، ۱۹].

دو عنصر مجاور در گروه پانزدهم جدول تناوبی بوده که الکترونگاتیوی و شعاع اتمی مشابهی دارند بنابراین Sb می‌تواند جایگزین Bi اتم‌های Bi در شبکه Bi_2Te_3 شود و ترکیب $\text{Bi}_{2-x}\text{Sb}_x\text{Te}_3$ را به وجود آورد. با این وجود، در مقایسه با Bi اتم Sb شعاع اتمی و الکترونگاتیوی نزدیکتری به اتم Te دارد بنابراین انرژی موردنیاز برای اشغال محل Te کمتر بوده و به راحتی عیوب آنتی‌سایت Te' شکیل می‌شود. در نتیجه حفرات الکترونی به وجود آمده و $\text{Bi}_{2-x}\text{Sb}_x\text{Te}_3$ یک نیمه‌رسانای قوی از نوع P خواهد شد و اختلاف جرم زیاد Bi و Sb به طور موثری κ را سرکوب کرده و تفاوت‌های اندک الکترونگاتیوی و شعاع اتمی آنها باعث حفظ حرکت پذیری حامل‌های بار می‌شود [۲۱]. شایان ذکر است چگالی حامل‌های بار را نیز با مقدار Te' قابل کنترل بوده و مقدار x برای حداکثر ضربی سیبک مقدار ۱/۵ می‌باشد [۲۲].

شعاع و الکترونگاتیوی اتم Bi کاملاً متفاوت از Se است بنابراین انرژی تشکیل نقص آنتی‌سایت در Bi_2Se_3 زیاد بوده و تولید نقص آنتی‌سایت محدود می‌شود. اما از آنجا که فشار بخار Se زیاد است به راحتی از شبکه خارج شده و جای خالی در شبکه کریستالی ایجاد می‌شود. یونیزه شدن الکترون‌ها در این حالت باعث شده که $\text{Bi}_{2-x}\text{Se}_x$ یک نیمه‌هادی نوع N شود [۲۳]. در واقع دوپینگ Se می‌تواند نوار انرژی

13thInternational Conference
on Materials Engineering
& MetallurgyIran - Karaj
December 10 - 11, 2024

iMAT 2024



سیزدهمین کنفرانس بین المللی
مهندسی مواد و متابولورژی
ایران - کرج
۱۴۰۳ - ۲۱ - ۲۰

را به دو قسمت تقسیم کرده و چگالی حالت‌های الکترون را افزایش دهد این عمل باعث افزایش تعداد الکترون‌ها و تحرک پذیری آن‌ها خواهد شد [۲۴]. ثابت شده است که ترکیب $\text{Bi}_{2.7}\text{Se}_{0.3}$ بهترین خواص ترمومکترونیکی را دارد [۲۵].

شریف و همکارانش [۴] پس از سنتر پودر $\text{Bi}_{0.5}\text{Sb}_{1.5}\text{Te}_3$ و توزیع گرافن با درصدهای وزنی مختلف $x=0, 0.05, 0.1, 0.2$ در آن مشاهده کردند که با افزایش مقدار گرافن هدایت حرارتی کاهش یافته اما رسانایی الکتریکی به دلیل ثابت ماندن حامل‌های بار و کاهش تحرک آن‌ها، کاهش می‌یابد. همچنین گفته شده که گرافن قادر است با اعمال فشار مخالف در جهت رشد دانه از رشد بیشتر دانه جلوگیری کند. پراکندگی حامل‌های بار و فونون‌ها را به دلیل برخوردی‌های متعدد با موزدانه‌ها و فصل مشترک بین ذرات پودر و گرافن بیشتر کرده که منجر به کاهش همزمان رسانایی الکتریکی و هدایت حرارتی می‌شوند.

در میان همه نمونه‌ها، بالاترین مقدار ZT برابر 0.93 ± 0.01 در دمای 350°C کلوبین برای نمونه $1/0$ درصد وزنی گرافن به دست آمد. همچنین سختی ویکرز و مقاومت فشاری نمونه‌ها با بیشتر شدن محتوای گرافن افزایش می‌یابد. نمونه $1/2$ درصد وزنی گرافن دارای بیشترین سختی به میزان $10.3 \pm 0.83 \text{ GPa}$ بود که حدود $24 \pm 1.3 \text{ GPa}$ برابر بیشتر از نمونه بدون گرافن است. بهبود سختی ویکرز با افزودن گرافن به رفتار سختی ذاتی گرافن و کاهش اندازه دانه با افزایش مقادیر گرافن مربوط می‌شود. بیشترین مقاومت فشاری نیز متعلق به نمونه دارای $1/2$ درصد وزنی گرافن به میزان $158 \pm 0.58 \text{ MPa}$ بود که بهبود آن به دلیل اصلاح دانه و مکانیزم تقویت کنندگی توسط گرافن می‌باشد [۴].

احمد و همکارانش [۷] پودر درشت Bi_2Te_3 را به منظور دستیابی به ساختار نانو به مدت 24 ± 1 ساعت تحت آسیاکاری مکانیکی قرار داده و جهت توزیع بهتر گرافن از حمام التراسونیک برای توزیع گرافن با درصدهای وزنی مختلف $x=0.5, 0.75, 1.5$ در اثانول و به مدت نیم ساعت در پودر Bi_2Te_3 استفاده نموده و سپس پودرهای حاصله پس از خشک شدن با دستگاه SPS با دمای 450°C و فشار $35 \pm 0.5 \text{ MPa}$ تحت تفجوشی قرار دادند.

بهبود رسانایی الکتریکی در این پژوهش به وجود گرافن به صورت شبکه‌های به هم پیوسته در سراسر نمونه نسبت داده می‌شود. وجود گرافن باعث افزایش چگالی حالت‌ها (افزایش جرم موثر حامل‌های بار) در کامپوزیت شده که بهبود ضربی سیبک را به همراه دارد. نانوساختار شدن Bi_2Te_3 توسط آسیای گله‌ای و جلوگیری از رشد دانه توسط گرافن، پراکندگی فونون در فصل مشترک را بیشتر کرده و کاهش هدایت حرارتی را در پی دارد. بنابراین بیشترین مقدار ZT حدود 0.55 ± 0.05 در دمای 500°C کلوبین متعلق به نمونه دارای $1/5$ درصد وزنی گرافن بود [۷].

احمد و آلموتاییری [۱۲] پودر درشت Bi_2Te_3 خردباری شده را به مدت 24 ± 1 ساعت در اثانول و آسیای گله‌ای قرار داده تا به پودر ریز تبدیل شود سپس Bi_2Te_3 و MWCNT با درصدهای وزنی مختلف $x=0.5, 1, 1.5$ در طور مستقل در اثانول و به مدت 30 ± 3 دقیقه در حمام التراسونیک قرار داده و سپس دو سوسپانسیون را به یکدیگر اضافه نموده و فرآیند اختلاط 30 ± 3 دقیقه دیگر تکرار شد. پس از آن مخلوط در آون خشک گردید. پودرهای کامپوزیتی توسط تفجوشی پلاسمای جرقه‌ای (SPS) در دمای 400°C به مدت 3 ± 0.5 دقیقه تحت فشار $40 \pm 2 \text{ MPa}$ فشرده شدند.

افروزن MWCNT مسیرهای رسانای متعددی را ایجاد کرده که سبب افزایش رسانایی الکتریکی شده است. البته رسانایی الکتریکی نمونه 2 ± 0.5 درصد MWCNT کمتر از نمونه $1/5$ درصد بوده که علت به الگومره شدن و توزیع غیریکنواخت MWCNT در کامپوزیت گزارش شده است. افزودن MWCNT سبب فصل مشترک‌های ناهمگون جدید و بزرگی شده که ایجاد اختلاف پتانسیل می‌کند. به عبارتی فصل مشترک یک مانع انرژی شده که حامل‌های پرانرژی را گسترش داده در حالی که باعث ایجاد خلل برای عبور حامل‌های بار کم انرژی شده و آنها را پراکنده می‌کند. این عمل میانگین انرژی حامل‌های بار را افزایش داده که خود سبب بهبود ضربی سیبک می‌گردد. کاهش هدایت حرارتی نیز در نمونه‌های دارای MWCNT نسبت به نمونه بدون MWCNT مشاهده می‌شود. بهترین مقدار ZT حدود 0.4 ± 0.05 در 470°C کلوبین برای نمونه $1/5$ درصد به دست آمد [۱۲].

از آنجایی که در ساخت دستگاه‌های ترمومکترونیک به طور همزمان به هر دو ماده نوع N و P نیاز است لذا هدف از پژوهش حاضر سنتز همزمان هر دو ترکیب نوع N ($\text{Bi}_{0.5}\text{Sb}_{1.5}\text{Te}_3$) و نوع P ($\text{Bi}_{2.7}\text{Se}_{0.3}$) با آلیازسازی مکانیکی به منظور دستیابی به ذرات در ابعاد

نانومتری و بررسی تاثیر افزودن درصدهای وزنی مختلف گرافن به $\text{Bi}_{0.5}\text{Sb}_{1.5}\text{Te}_3$ و $\text{Bi}_{2}\text{Te}_{2.7}\text{Se}_{0.3}$ جهت بهبود خواص ترمومالتیک است. نمونه‌های بالک توسط پرس هیدرولیک ساخته خواهد شد تا مقادیری از تخلخل نیز به منظور کاهش هدایت حرارتی وجود داشته باشد.

۲- روش پژوهش

به منظور ساخت دو ترکیب $\text{Bi}_{0.5}\text{Sb}_{1.5}\text{Te}_3$ و $\text{Bi}_{2}\text{Te}_{2.7}\text{Se}_{0.3}$ توسط آسیاکاری مکانیکی از پودر عناصر بیسموت، تلوریم، سلنیوم و آنتیموان محصول شرکت مرک آلمان طبق مشخصات گفته شده در جدول ۱ استفاده گردید. با توجه به نسبت‌های استوکیومتری ترکیب $\text{Bi}_{0.5}\text{Sb}_{1.5}\text{Te}_3$ و $\text{Bi}_{2}\text{Te}_{2.7}\text{Se}_{0.3}$ مقادیر عناصر مورد نیاز وزن شده و به همراه گلوله‌های فولادی زنگنزن با نسبت وزنی گلوله به پودر ۱۵:۱ به مدت ۱۲ ساعت و سرعت چرخش ۲۷۰rpm تحت اتمسفر گاز آرگون توسط دستگاه آسیا گلوله‌ای سیاره‌ای (PM2400/Iran) آسیاکاری شدند. سپس پودرها با درصدهای وزنی مختلف گرافن (۰/۵، ۰/۰، ۰/۷۵ و ۱) در اتانول به مدت ۳۰ دقیقه به منظور پراکندگی یکنواخت گرافن در پودر ترمومالتیک تحت اولتراسونیک قرار گرفت و پس از خشک شدن، نمونه‌ها به کمک پرس هیدرولیک تحت فشار حدود ۶۴ مگاپاسکال به مدت یک دقیقه و در دمای محیط به صورت بالک ساخته شد.

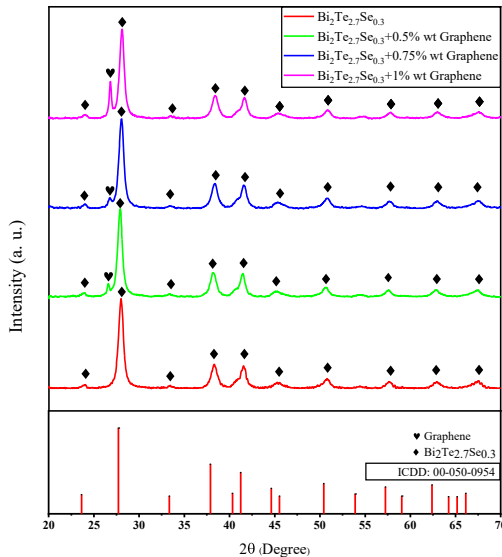
جدول ۱- مشخصات فیزیکی پودرهای مصرفی

نام پودر	درصد خلوص (%)	چگالی (g/cm ³)	اندازه ذره (μm)
بیسموت	>۹۹.۰	۹.۷۸	۱۵۰>
تلوریم	>۹۹.۸	۶.۲۴	۱۵۰>
سلنیوم	>۹۹.۵	۴.۸۱	۱۵۰>
آنتیموان	>۹۹.۰	۶.۷	۱۵۰>

خصوصیات فازی پودر سنتزشده و نمونه‌های دارای درصدهای مختلف گرافن پس از اولتراسونیک، توسط دستگاه پراش اشعه ایکس (XRD) مدل GNR-EXPLORER ساخت کشور ایتالیا و با امواج Cu-Kα در زوایای 20° تا 70° مورد ارزیابی قرار گرفت. به منظور پرس از دستگاه پرس هیدرولیک با قطر سنبه mm ۶۰ استفاده شد. دستگاه ضربی سیبک ساخته شده در دانشگاه فردوسی مشهد به منظور اندازه‌گیری ضربی سیبک استفاده گردید. به منظور بررسی ضربی سیبک، نمونه درون کوره قرار داده شده و اندازه‌گیری دمایی توسط ترمومترهای تعیینه شده در دو سمت نمونه انجام می‌شود. با اعمال جریان الکتریکی به دو طرف نمونه، اختلاف دمایی ایجاد شده که توسط ترمومترها نشان داده می‌شود و همزمان به کمک ولت‌متر اختلاف پتانسیل ناشی از اختلاف دما اندازه‌گیری می‌گردد. نسبت اختلاف پتانسیل به دست آمده به اختلاف دما، ضربی سیبک را نشان می‌دهد.

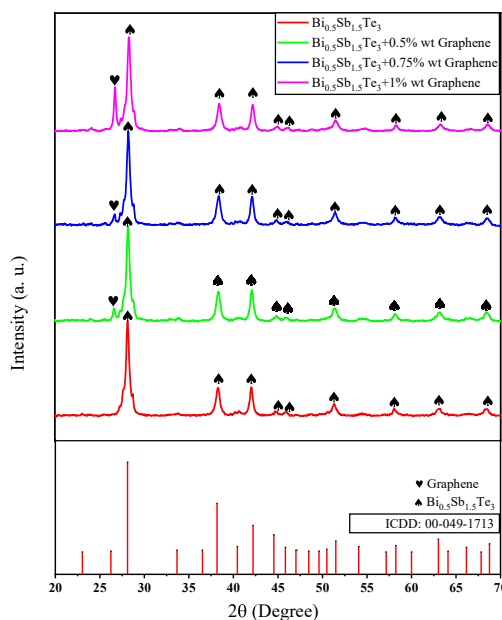
۳- نتایج و بحث

شکل ۱ الگوی پراش پرتو ایکس فاز $\text{Bi}_{2}\text{Te}_{2.7}\text{Se}_{0.3}$ پس از آسیاکاری مکانیکی و همچنین پس از توزیع گرافن با درصدهای وزنی ۰/۰، ۰/۰/۷۵ و ۱ توسط حمام اولتراسونیک در زوایای 20° تا 70° نشان می‌دهد. آنالیز XRD شکل ۱ طبق کارت استاندارد-ICDD=00-050-0954 وجود نمونه تک فاز $\text{Bi}_{2}\text{Te}_{2.7}\text{Se}_{0.3}$ با ساختار کریستالی رمبوهدرال در گروه فضایی R-3m بدون هیچ ناخالصی قابل توجهی را نشان می‌دهد. الگوی پراش مربوط به نمونه‌های دارای گرافن نیز تغییری نسبت به نمونه بدون گرافن نداشته که نشان می‌دهد فرآیند اولتراسونیک در محلول اتانول، تغییری در ترکیب سنتزشده به وجود نمی‌آورد و تنها پیک مضاعف در $27^\circ = 20^\circ$ متعلق به گرافن است.[۲۶]



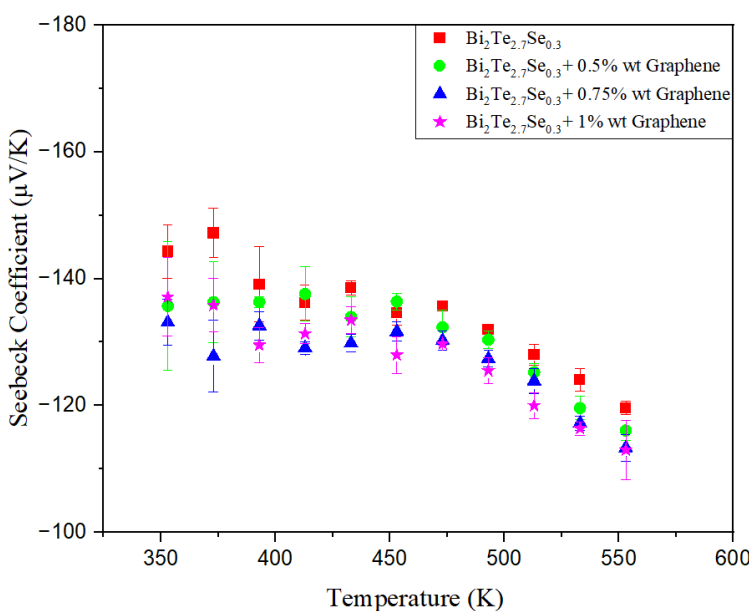
شکل ۱- طیف پراش پرتو X Bi₂Te_{2.7}Se_{0.3} پودر با درصدهای وزنی مختلف گرافن ۰٪، ۰.۵٪، ۰.۷۵٪ و ۱٪

شکل ۲ الگوی پراش پرتو ایکس فاز Bi_{0.5}Sb_{1.5}Te₃ پس از آسیاکاری مکانیکی و همچنین پس از توزیع گرافن درصدهای وزنی ۰٪، ۰.۵٪، ۰.۷۵٪ و ۱٪ توسط حمام التراسونیک در زوایای ۲۰° تا ۷۰° نشان می‌دهد. آنالیز XRD شکل ۲ طبق کارت استاندارد ICDD=00-049-1713 وجود نمونه تک فاز Bi_{0.5}Sb_{1.5}Te₃ با ساختار کریستالی رمبوهدرال در گروه فضایی R-3m بدون هیچ ناخالصی قابل توجهی را نشان می‌دهد. الگوی پراش مربوط به نمونه‌های دارای گرافن نیز تغییری نسبت به نمونه بدون گرافن نداشته که نشان می‌دهد فرآیند اولتراسونیک در محلول اتانول، تغییری در ترکیب سنتزشده به وجود نمی‌آورد و تنها پیک مضاعف در 27° متعلق به گرافن است. [۲۶]



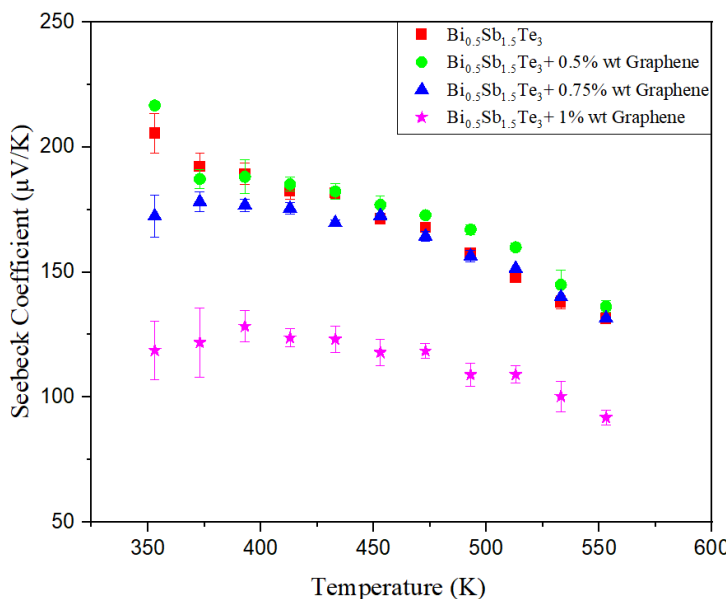
شکل ۲- طیف پراش پرتو X Bi_{0.5}Sb_{1.5}Te₃ پودر با درصدهای وزنی مختلف گرافن ۰٪، ۰.۵٪، ۰.۷۵٪ و ۱٪

طبق شکل ۳ در محدوده دمای آزمایش، ضرایب سیبک نمونه‌های $\text{Bi}_2\text{Te}_{2.7}\text{Se}_{0.3}+x$ wt% Graphene ($x=0, 0.5, 0.75, 1$) همگی منفی هستند که ویژگی نیمه‌رسانای نوع N است. با افزایش محتوای گرافن، تمایل به کاهش مقادیر ضرایب سیبک دیده می‌شود. افزایش غلظت حامل با افزودن گرافن دلیل مهمی است که ضرایب سیبک نمونه‌های دارای گرافن کمتر از نمونه $\text{Bi}_2\text{Te}_{2.7}\text{Se}_{0.3}$ بدون گرافن است [۲۷]. لازم به ذکر است یک رابطه معکوس بین هدایت الکتریکی و ضرایب سیبک وجود دارد [۲۷]. کامپوزیت‌های مبتنی بر گرافن می‌توانند از طرق مختلفی بر غلظت و تحرک حامل تأثیر بگذارند، از جمله وارد کردن حامل‌های بار اضافی به مواد و بهبود تحرک حامل با ارائه یک مسیر رسانا و در نتیجه بهبود رسانایی الکتریکی و در عین حال کاهش اختلاف پتانسیل که طبق معادله (۱-۲) کاهش مقادیر ضرایب سیبک را در پی دارد [۲۸, ۸].



شکل ۳- ضرایب سیبک نمونه $\text{Bi}_2\text{Te}_{2.7}\text{Se}_{0.3}$ با درصدهای وزنی مختلف گرافن $0, 0.5, 0.75$ و 1

طبق شکل ۴ ضرایب سیبک نمونه‌های $\text{Bi}_{0.5}\text{Sb}_{1.5}\text{Te}_3+x$ wt% Graphene ($x=0, 0.5, 0.75, 1$) همگی مثبت هستند که ویژگی نیمه‌رسانای نوع P است. علاوه بر این، ضرایب سیبک نمونه‌های دارای $0/0.5/0.75/1$ درصد وزنی گرافن در محدوده دمایی 470 تا 550 کلوین بیشتر از مقادیر سیبک نمونه $\text{Bi}_{0.5}\text{Sb}_{1.5}\text{Te}_3$ بدون گرافن است که این افزایش ضرایب سیبک می‌تواند نتیجه اثر فیلتر انرژی باشد. به عبارتی فاز ثانویه به عنوان یک مانع بالقوه در فصل مشترک گرافن و ماده ترموالکتریک برای فیلتر کردن حامل‌های بار کم انرژی و عبور انتخابی حامل‌های پرانرژی عمل می‌کند و ضرایب سیبک را بهبود می‌بخشد [۱۲, ۲۷]. این بهبود همچنین ممکن است به دلیل بهینه‌سازی ساختار نواری ماده و ایجاد تغییراتی در سطح فرمی باشد (سطح فرمی به بالاترین سطح انرژی گفته می‌شود که الکترون‌ها می‌توانند در دمای صفر کلوین آن را اشغال کنند). در نتیجه انتقال حامل‌های بار در دمایهای بالا بهبود می‌یابد [۷, ۲۸]. همچنین بیشترین ضرایب سیبک در نمونه با بیشترین مقدار گرافن به دست نمی‌آید که این موضوع نشان می‌دهد ضرایب سیبک به طور یکنواخت با بیشتر شدن مقدار گرافن افزایش نمی‌یابد [۲۷]. بنابراین در بهترین حالت افزودن $0/0.5/0.75/1$ درصد وزنی گرافن به ترکیب $\text{Bi}_{0.5}\text{Sb}_{1.5}\text{Te}_3$ موجب افزایش ضرایب سیبک از مقدار $20.5/6 \mu\text{V}/\text{K}$ به مقدار $216/7 \mu\text{V}/\text{K}$ در دمای 353 کلوین گردید.



شکل ۴- ضریب سیبک نمونه Bi_{0.5}Sb_{1.5}Te₃ با درصدهای وزنی مختلف گرافن ۰، ۰/۵، ۰/۷۵ و ۱

۴- نتیجه‌گیری

به عنوان نتیجه‌گیری می‌توان گفت ترکیبات Bi_{0.5}Sb_{1.5}Te₃ و Bi₂Te_{2.7}Se_{0.3} با روش آسیاکاری مکانیکی بدون ناخالصی سنتز شدند، ساخت قطعات بالک توسط پرس هیدرولیک با موفقیت انجام گردید و نتایج زیر حاصل شد:

- ۱- مقدار ضریب سیبک نمونه Bi₂Te_{2.7}Se_{0.3} بدون گرافن در محدوده دمایی ۳۵۰ تا ۵۵۰ کلوین بیشتر از مقادیر سیبک برای نمونه‌های دارای گرافن بود.
- ۲- افزودن ۰/۵ درصد وزنی گرافن به ترکیب Bi_{0.5}Sb_{1.5}Te₃ موجب افزایش ضریب سیبک از مقدار ۲۰۵/۶ $\mu\text{V}/\text{K}$ به مقدار ۲۱۶/۷ $\mu\text{V}/\text{K}$ در دمای ۳۵۳ کلوین گردید.
- ۳- همچنین وجود گرافن با درصد وزنی ۰/۵ و ۰/۷۵ ضرایب سیبک بالاتری را در محدوده دمایی ۴۷۰ تا ۵۵۰ کلوین نسبت به نمونه بدون گرافن نشان داد.



- مراجع

- .۱ Saberi, Y. and S.A. Sajjadi, *A comprehensive review on the effects of doping process on the thermoelectric properties of Bi₂Te₃ based alloys*. Journal of Alloys and Compounds, 2022. 904: p. 163918.
- .۲ Kim, S.-T., et al., *Enhanced thermoelectric composite performance from mesoporous carbon additives in a commercial Bi_{0.5}Sb_{1.5}Te₃ matrix*. Journal of Materials Science & Technology, 2021. 94: p. 175-182.
- .۳ Suh, D., et al., *Enhanced thermoelectric performance of Bi_{0.5}Sb_{1.5}Te₃-expanded graphene composites by simultaneous modulation of electronic and thermal carrier transport*. Nano Energy, 2015. 13: p. 67-76.
- .۴ Sharief, P., et al., *Investigation of graphene dispersion on thermoelectric, magnetic, and mechanical properties of p-type Bi_{0.5}Sb_{1.5}Te₃ alloys*. Materials Chemistry and Physics, 2021. 266: p. 124512.
- .۵ Mejia, N., et al., *An On-Site Thermoelectric Cooling Device for Cryotherapy and Control of Skin Blood Flow*. J Med Device, 2015. 9(4): p. 0445021-445026.
- .۶ Lee, H., *Thermoelectrics: design and materials* : ۲۰۱۶ .Wiley.
- .۷ Ahmad, K., et al., *Enhanced thermoelectric performance of Bi₂Te₃ based graphene nanocomposites*. Applied Surface Science, 2019. 474: p. 2-8.
- .۸ Mulla, R., et al., *The role of graphene in new thermoelectric materials*. Energy Advances, 2023 : (۹) . p. 606-614.
- .۹ Shang, H., et al., *Bi_{0.5}Sb_{1.5}Te₃-based films for flexible thermoelectric devices*. Journal of Materials Chemistry A, 2020. 8(8): p. 4552-4561.
- .۱۰ Zhang, P., et al., *Development and Applications of Thermoelectric Oxide Ceramics and Devices*. Energies, 2023. 16(11): p. 4475.
- .۱۱ An, T.-H., et al., *Composition-dependent charge transport and temperature-dependent density of state effective mass interpreted by temperature-normalized Pisarenko plot in Bi_{2-x}Sb_xTe₃ compounds*. APL Materials.(۱۰) : ۲۰۱۶ ,
- .۱۲ Ahmad, K. and Z. Almutairi, *Enhanced thermoelectric properties of bismuth telluride (Bi₂Te₃) and multiwall carbon nanotube (MWCNT) composites*. Materials Today Communications, 2023. 35: p. 106228.
- .۱۳ Rowe, D.M., *Thermoelectrics Handbook :Macro to Nano*. 2005: CRC Press.
- .۱۴ El-Makaty, F.M., K. Andre Mkoyan, and K.M. Youssef, *The effects of structural integrity of graphene on the thermoelectric properties of the n-type bismuth-telluride alloy*. Journal of Alloys and Compounds, 2021. 876: p. ۱۶۰۱۹۸ .
- .۱۵ Bharwdaj, A., et al., *Current Research and Future Prospective of Iron-Based Heusler Alloys as Thermoelectric Materials*. Nanotechnologies in Russia, 2019. 14(7): p. 281-289.
- .۱۶ Wang, Z.-L., et al., *Formation of Te-rich phase and its effect on microstructure and thermoelectric properties of hot-extruded Bi–Te–Se bulk materials*. Journal of Alloys and Compounds, 2016. 684: p. 516-523.
- .۱۷ Jang, J., et al., *Development of p-type Bi_{2-x}Sb_xTe₃ thermoelectric materials for power generation application exploiting synergistic effect of Sb alloying and repress process*. Applied Surface Science, 2020. 508: p. 145236.
- .۱۸ Shi, T.-f., et al., *Recent advances of electrodeposition of Bi₂Te₃ and its thermoelectric applications in miniaturized power generation and cooling*. International Materials Reviews, 2023. 68(5): p. 521-555.
- .۱۹ Kim, H.-S., et al., *High thermoelectric performance in (Bi_{0.25}Sb_{0.75})₂Te₃ due to band convergence and improved by carrier concentration control*. Materials Today, 2017. 20(8): p. 452-459 .
- .۲۰ Witting, I.T., et al., *The Thermoelectric Properties of n-Type Bismuth Telluride: Bismuth Selenide Alloys Bi(2)Te(3-x) Se (x)*. Research (Wash D C), 2020. 2020: p. 4361703.
- .۲۱ Zhu, T., et al., *New Insights into Intrinsic Point Defects in V₂VI₃ Thermoelectric Materials*. Advanced Science, 2016. 3(7): p. 1600004.
- .۲۲ Sootsman, J.R., D.Y. Chung, and M.G. Kanatzidis, *New and Old Concepts in Thermoelectric Materials*. Angewandte Chemie International Edition, 2009. 48(46): p. 8616-8639.

13th

International Conference
on Materials Engineering
& Metallurgy

Iran - Karaj
December 10 -11, 2024

iMAT 2024



سیزدهمین کنفرانس بین المللی
مهندسی مواد و متاالورژی
ایران - کرج
۱۴۰۳ - ۲۱ - ۲۰

- .۲۳ Zhang, Q., et al., *Tuning Optimum Temperature Range of Bi₂Te₃-Based Thermoelectric Materials by Defect Engineering*. Chemistry – An Asian Journal, 2020. 15(18): p. 2775-2792.
- .۲۴ Fang, T., et al., *Complex Band Structures and Lattice Dynamics of Bi₂Te₃-Based Compounds and Solid Solutions*. Advanced Functional Materials, 2019. 29(28): p. 1900677.
- .۲۵ Chen, J., et al., *Structural modifications and non-monotonic carrier concentration in Bi₂Se_{0.3}Te_{2.7} by reversible electrochemical lithium reactions*. Acta Materialia, 2013. 6 : (°) p. 1508-1517.
- .۲۶ Wang, X. and L. Zhang, *Green and facile production of high-quality graphene from graphite by the combination of hydroxyl radicals and electrical exfoliation in different electrolyte systems*. RSC Advances, 2019. 9(7): p. 3693-3703.
- .۲۷ Liu, X., et al., *Excellent dispersion effects of carbon nanodots on the thermoelectric properties of Bi₂Te_{2.7}Se_{0.3} with excessive Te*. Journal of Alloys and Compounds, 2022. 899: p. 163296.
- .۲۸ Ma, Z., et al., *Review of experimental approaches for improving zT of thermoelectric materials*. Materials Science in Semiconductor Processing, 2021. 121: p. 105303.